

**РЕЗУЛЬТАТЫ И МЕТОДИКА ГЕОМОРФОЛОГИЧЕСКОГО  
КАРТОГРАФИРОВАНИЯ ПОДЛЕДНО-ПОДВОДНОГО РЕЛЬЕФА ВПАДИНЫ  
ЛАМБЕРТА И ЕЕ ОБРАМЛЕНИЯ (ВОСТОЧНАЯ АНТАРКТИДА)**

**Сбор информации**

Горы Принс-Чарльз являются западным обрамлением грабена Ламберта, к которому приурочен самый большой на планете одноименный выводной ледник. К этому району на протяжении многих лет привлекало внимание ученых многих стран. Первые геофизические исследования были выполнены сотрудниками австралийской экспедиции в течение летних полевых сезонов 1957–1959 гг. Ими были проведены наземные сейсмо-гравиметрические наблюдения к югу от станции Моусон на профилях субмеридионального простирания общей протяженностью  $>1000$  км [1]. Научные изыскания были продолжены отечественными специалистами. Так, в течение 1-й и 2-й комплексных антарктических экспедиций (КАЭ) были выполнены рекогносцировочные полеты над шельфовым ледником Эймери на самолете АН-2 [2]. Кроме того, первые геологические наблюдения в горах Принс-Чарльз были также проведены советскими исследователями под руководством Д.С. Соловьева [3].

Силами сезонных отрядов 17–19 Советской антарктической экспедиции (САЭ) (1971–1974 гг.) были осуществлены важные геолого-геофизические исследования под руководством Д.С. Соловьева, которые включали обследование горного обрамления ледников Ламберта и Эймери [4]. Работы носили рекогносцировочный характер и рассматривались в качестве основы для проведения более детальных исследований в будущем. В течение трех полевых сезонов были выполнены аэромагнитометрические наблюдения в комплексе с радиолокационным профилированием (РЛП) м-ба 1 : 2 000 000, аэрофотосъемка всего участка работ, сейсмические зондирования МОВ с гравиметрическими наблюдениями по сети  $30 \times 30$  км и сделаны два профиля ГСЗ. В результате работ получены уникальные данные о мощности ледникового покрова, подледном рельефе и геологическом строении на обширной территории Земель Мак-Робертсона и Принцессы Елизаветы. Было установлено, что долина выводного ледника Ламберта имеет рифтогенное происхождение и в общих чертах была построена модель земной коры [4–8]. По результатам аэрогеофизических исследований 17–19 САЭ, в 1975 г. В.Н. Масоловым и И.Н. Кадминой по материалам А.М. Шалыгина и Г.В. Трепова была составлена первая схематическая карта разрезов ледникового покрова м-ба 1 : 1 000 000.

В 1985 г. начался новый этап исследования района посредством проведения сотрудниками Полярной морской геолого-разведочной экспедиции (ПМГРЭ) комплексных геолого-геофизических исследований в море Содружества и на континенте. В течение полевого сезона 31 САЭ (1985/86 г.) осуществлена аэромагнитная съемка в комплексе с РЛП м-ба 1 : 2 000 000 на самолете Ил-14 по регулярной сети маршрутов субширотного простирания. Начиная со следующего полевого сезона (32 САЭ) начались регулярные аэрогеофизические исследования в комплексе с РЛП м-ба 1 : 500 000, которые проводятся в этом районе и по сей день. Они выполнялись в течение летних полевых сезонов 32, 33, 35, 36 САЭ, а также 39 и 40 Российской антарктической экспедиции РАЭ (рис. 1) [9]. Наряду с аэрогеофизическими работами в период с 31 по 36 САЭ (1985–1991 гг.), в море Содружества и в заливе Прюдс были выполнены исследования, включающие сейсмические зондирования МОГТ, КМПВ, а также донное опробование (рис. 1) [10]. В результате этих многолетних исследований впервые были получены представительные данные о мощности ледникового покрова и подледно-подводном рельефе обширной территории Земель Мак-Робертсона и Принцессы Елизаветы и примыкающей части моря Содружества [6, 7].

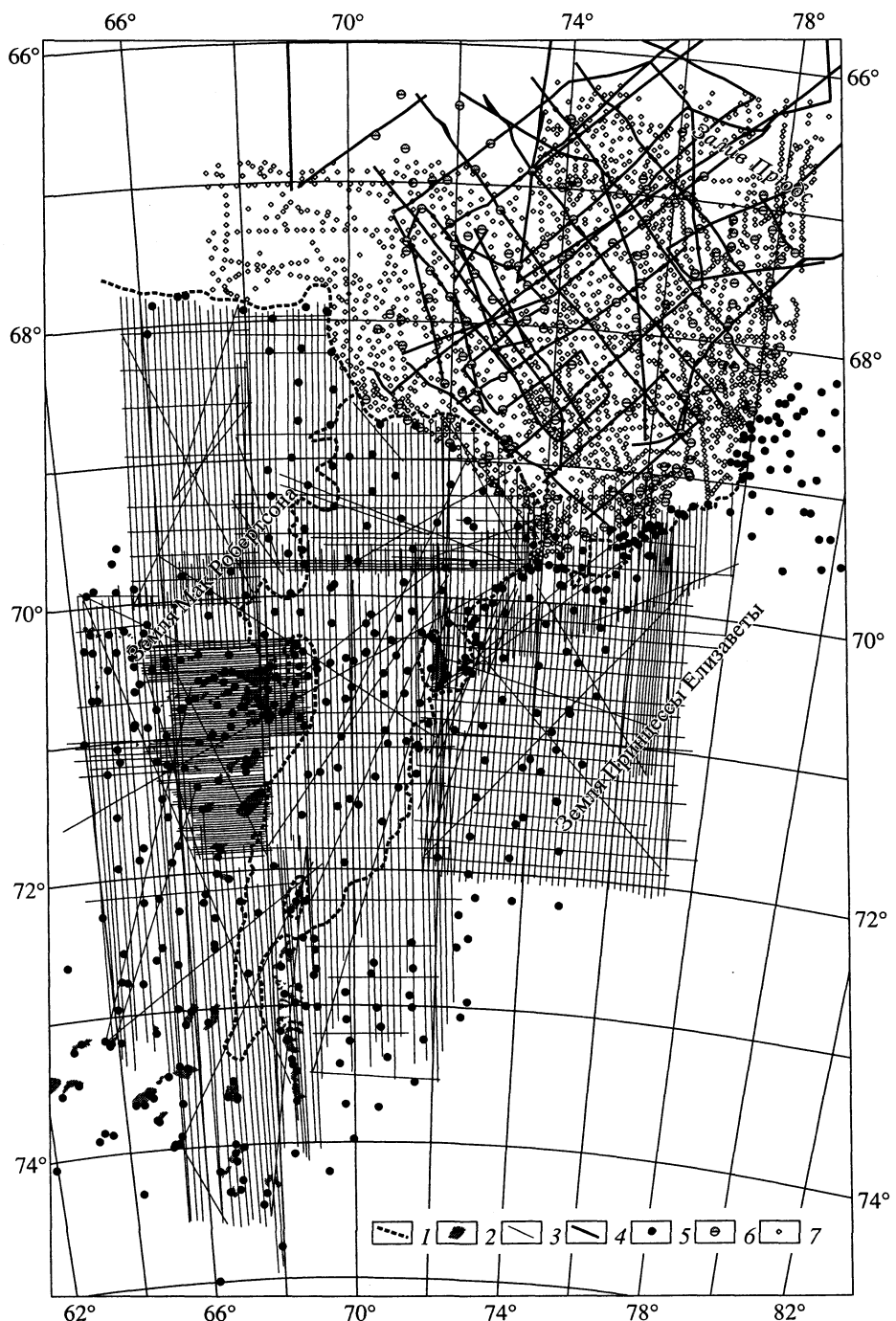


Рис. 1. Карта геофизической изученности района гор Принс-Чарльз

1 – береговая черта, 2 – горные выходы, 3 – положение маршрутов РЛП, 4 – профили МОГТ, 5 – пункты зондирования МОВ, 6 – пункты донных опробований, 7 – данные батиметрии

Нельзя не отметить вклад иностранных экспедиций в геолого-геофизическое изучение района и прежде всего ANARE (Australian National Antarctic Research Expedition). Одновременно с работами советских геофизиков ею были проведены аэрогравиметрические исследования в течение летних полевых сезонов 1971/72, 1973/74 и 1989–1995 гг. Было выполнено РЛП по радиальной сети общей протяженностью ~6900 км с подбазы, расположенной в районе массива Кресуэл, и наземные комплексные геофизические исследования, включая РЛП по траверсу, проходящему вокруг ледника Ламберта от станции Моусон до базы Лоу. По результатам работ построены карты высот дневной поверхности, мощности ледникового покрова и гипсометрии подледного рельефа южной части района ледника Ламберта [11, 12]. Кроме того, ими, а также японской экспедицией (JARE) проведены значительные по объему сейсмоакустические работы в заливе Прюдс [13, 14]. Авторами данной статьи учтены результаты всех перечисленных работ и названных исследователей.

В основу построения приведенных в статье карт положены данные радиолокационного профилирования, полученные сотрудниками ПМГРЭ в период 1985–1995 гг. (31–36 САЭ и 39, 40 РАЭ) (рис. 1). Детальная характеристика материала и методики обработки подробно описаны в работах [15, 16].

### **Орография, абсолютные и относительные высоты и глубины подледно-подводной поверхности**

Наряду с горами Принс-Чарльз доминирующая форма в данном районе – впадина Ламберта (рис. 2). Она вытянута по дуге большого радиуса и простирается в меридиональном направлении более чем на 700 км. Постепенно расширяется от 30 км в южной части до 130 км в центральной на широте 70° и до 200 км в северной, в районе фронта шельфового ледника Эймери. Впадина Ламберта географически с севера примыкает к заливу Прюдс, который продолжает ее, простираясь до бровки материкового склона в виде единой отрицательной формы. Она представляет собой субмеридиональное понижение с контрастно выраженным бортами и выровненным дном, поверхность которого расположена на средней глубине около –500 м. Ее южная и западная границы проходят по наиболее крутым склонам с крутизной от 3° до 15°. Восточная граница выражена менее контрастно в виде склона, крутизна которого редко превосходит 2,5°.

Западная граница впадины Ламберта сильно расчленена обычно висячими глубоко врезанными каньонами, верховья которых в горах Принс-Чарльз удалены от долины на многие десятки километров. Расчленение восточного обрамления впадины не столь сильное, и оно представлено редкими трогообразными и циркообразными понижениями. Граница ее днища, приуроченная к четко выраженному тыловому шву, проходит по 500–700-метровым изогипсам в северной части и по 800–1400-метровым в южной. Впадина осложнена замкнутыми котловинами с глубинами >1000 м. Наибольшая известная абсолютная глубина их достигает почти 2500 м.

К южной части впадины Ламберта примыкают сравнительно более мелкие грабенообразные понижения и каньоны, к которым приурочены выводные ледники Фишера, Гейсена, Коллинса, Меллора и Калининградский. Они, вероятнее всего, представляют связанные между собой звенья, продолжающие впадину – грабен Ламберта, в глубь континента, и, возможно, вся эта сложно построенная цепь отрицательных, а также сопряженных с ними положительных контрастно выраженных форм прослеживается до гор Гамбурцева.

На собственно шельфе по батиметрическому положению и характеру расчлененности выделяются низкая равнина, являющаяся продолжением впадины Ламберта, и ряд относительно высоких равнин, сформированных на приподнятом кристаллическом основании со слабым прерывистым плащем ледово-морских осадков. Последние подразделяются по степени расчлененности и выступают в качестве бортов впадины Ламберта в ее низовьях. Данные внутришельфовые поднятия весьма характерны для

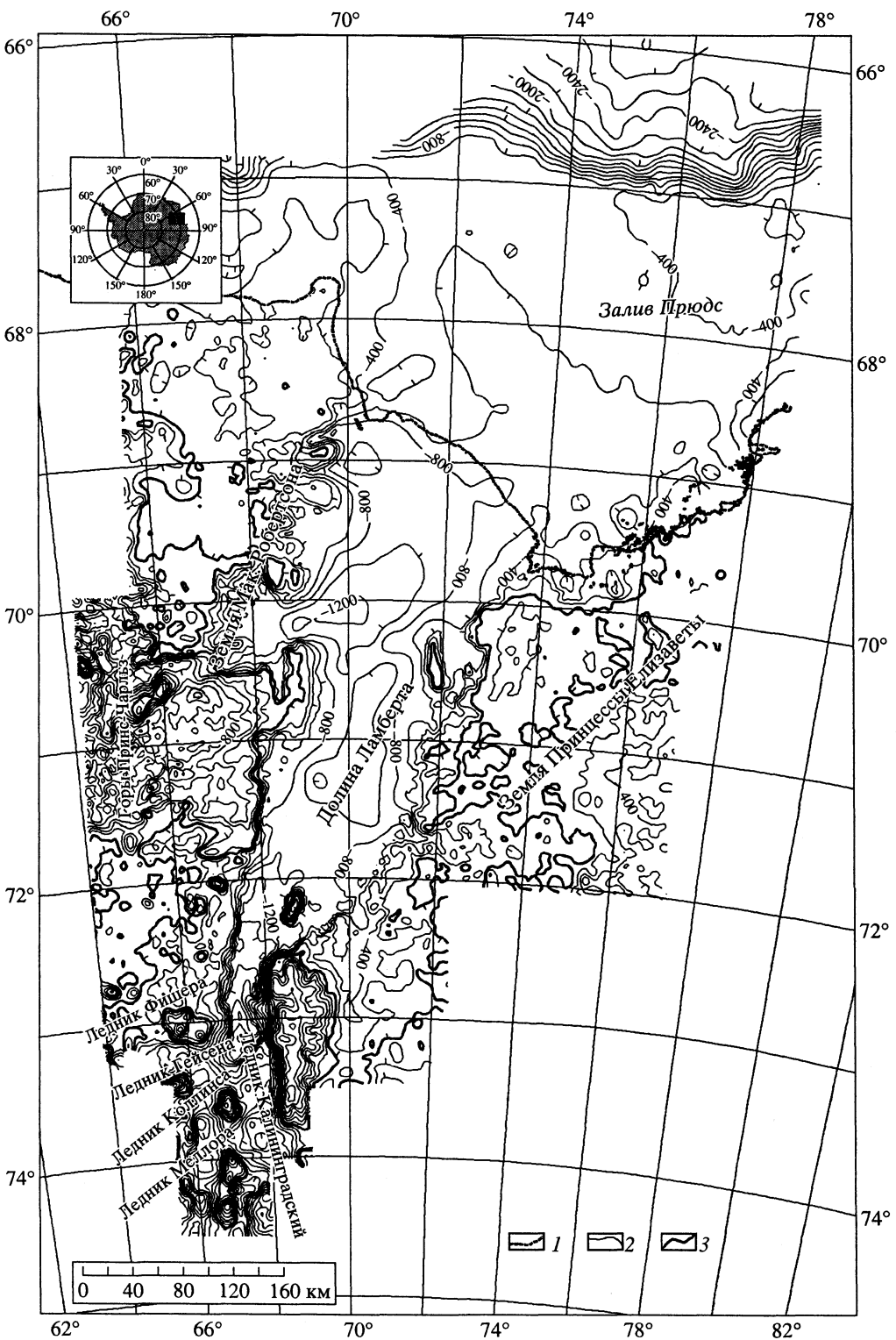


Рис. 2. Карта подледнико-подводного рельефа района гор Принс-Чарльз (упрощено)

1 – береговая черта; 2 – изогипсы, м; 3 – уровень моря

рельефа Антарктиды и являются по сути материковыми островами. В дневной поверхности они выражаются, как правило, нунатаками и уступами (уступ Моусона, утес Лендинг, массив Шо и др.), имеют значительные перепады высот (уступ Моусона ~3000 м, массив Клеменс – 1800 м, массив Кампстон – 1600 м, массив ШО – 1000 м) и крутые склоны (иногда более 10°). Оазисы в этой части района приурочены к вершинам или террасированным склонам.

Основная часть гор Принс-Чарльз представляет собой среднегорье. Оно расположено в западной части горного массива и характеризуется высокой расчлененностью (относительные высоты иногда превышают 1000 м). Склоны имеют широкий диапазон крутизны, а в пределах каньонов часто превышают 15°. Восточная часть района представлена пологовалистым холмогорьем, в границах которого относительные высоты не превышают 200 м.

Наряду с шельфом подводный рельеф описываемого района включает в себя материковый склон и его подножие. Поверхность материкового склона изрезана многочисленными подводными каньонами, ее крутизна 2–7°. Их тальвеги субортогоризонтальны бровке шельфа и тыловому шву подножия. Средняя глубина каньонов ~2000 м при ширине 20–30 км. Обращает на себя внимание продолжающий впадину Ламберта обширный конус выноса, к вершине которого подходит осевая линия подводной долины. Подножие материкового склона относительно расположено – его крутизна ~1°, а глубина возрастает в северном направлении от –2400 до –3000 м и более.

### **Приложение морфогенетического принципа к картографированию подводного и подледного рельефа**

Морфогенетический принцип картографирования наиболее распространен в геоморфологическом картографировании рельефа [17, 18 и др.]. Его реализация сводится к фиксации на аналитических картах ограниченных сверху бровками и снизу тыловыми швами частей земной поверхности (генетически однородных поверхностей или "граней"), разделенных всего по одному морфологическому признаку – по уклонам и только на два вида: близкие к горизонтальным и разделяющие их наклонные. Их последующее отнесение к одной из многочисленных генетических категорий основывается на анализе формы, взаимного положения слагаемых ими неровностей, происхождения облекаемых этими поверхностями четвертичных отложений. Данный принцип сложился и опробован в ходе многолетней практики составления геоморфологических карт съемочных масштабов и не только не утратил своего значения, но и содержит в себе большие возможности существенного совершенствования на основе системно-морфологических представлений в геоморфологии [19 и др.] и применения компьютерных технологий [20].

Особое значение совершенствование морфогенетического принципа имеет по отношению к подводному и подледному рельефу. В полной мере отражены новейшие и современные гео- и литодинамические процессы на дне морей и океанов, а также в областях развития покровного оледенения, рельеф выступает в качестве важнейшего источника информации о геологической структуре. Она отличается большим охватом по площади и потому может быть использована при интерполяции и экстраполяции геолого-геофизических данных, полученных на отдельных профилях и точках (скважинах, станциях донного опробования). По своей информативности подводный и подледный рельеф не уступает материалам региональной геофизики и именно поэтому в данных условиях столь важными становятся вопросы совершенствования геоморфологического картографирования. Его следует развивать в двух направлениях: а) повышение информативности аналитических моделей, которая применительно к подледному и подводному рельефу возрастает за счет использования не одного, а многих морфологических критериев выделения главных картировочных единиц – элементар-

ных поверхностей (ЭП) и б) увеличение объективности их фиксации на аналитической карте в результате использования системной основы, предусматривающей формализацию, строгую систематику и точную фиксацию линейных и заключенных между ними площадных элементов поверхности. Синтетические геоморфологические карты [18] в этих направлениях совершенствоваться не могут.

Определенный шаг в развитии морского аналитического картографирования был сделан при исследовании Анголо-Бразильского геотраверса в Атлантическом океане [21]. В то время он рассматривался в качестве компромиссной реализации появившихся тогда системно-морфологических представлений и традиционного морфогенетического подхода к геоморфологическому картографированию. Сейчас же данное направление картографирования представляется в качестве не вынужденного компромисса – некоего "примирения нового со старым", а последовательного изучения рельефа, идущего от выявления морфологии поверхностей к характеристике агентов и факторов рельефообразования, т.е. генезиса как одного из важнейших показателей рельефообразующего процесса. И это направление исследования, заложенное основателями морфогенетического аналитического картографирования, полностью соответствует вектору познания, который предусматривается морфодинамической парадигмой геоморфологической науки.

Следует специально отметить отличие изложенного в [21] и данной работе, находящегося в рамках этой парадигмы опыта, от традиционного аналитического картографирования. Упомянутый опыт предусматривает два обычно не выделяемых ранее строго последовательных этапа работ в картографировании: первый, который изначально и осознанно направлен на выделение не генетически или морфологически, а лишь (собственно) морфологически однородных элементарных поверхностей и разделяющих их границ – структурных линий, и второй, заключающийся в генетическом истолковании морфологии данных элементов в плане и в профиле и их взаимных соотношений в пространстве (структуры земной поверхности). И еще одно различие сводится к значительно более широкому диапазону картировочных единиц. Вместо ранее используемых двух субъективно выделяемых ("близких к горизонтальным и более крутых – близких к вертикальным") морфологических категорий элементарных поверхностей выделено 11 четко отделяемых друг от друга разновидностей, что существенно повышает информативность карты и возможности историко-генетического истолкования ее морфологической основы.

Данный опыт рекомендован Министерством природных ресурсов РФ для геоморфологического картографирования шельфа и континентального склона (в также входящей в "морские листы суши") при третьем этапе геологической съемки России в м-бе 1 : 1 000 000 [20].

## **Морфогенетическая карта и характеристика рельефа**

Исследования и картографирование рельефа данного района проводились и ранее параллельно с созданием общих представлений, обзорных схем и карт по подледно-подводному рельефу всей Антарктики (В.И. Бардин, П.С. Воронов, 1966 г., П.С. Воронов, 1967 г., Г.А. Значко-Яворский, 1977 г. и др.). Первые специальные геоморфологические наблюдения в данном районе выполнены в рамках 11 САЭ (1965–1966 гг.), однако их результаты были представлены описаниями без картографического сопровождения [22]. В 1972 г. В.И. Бардиным на основании полевых наблюдений была составлена геоморфологическая карта выходов на дневную поверхность коренного ложа ледника (не опубликована). Большой вклад в изучение рельефа был внесен сотрудником ПМГРЭ Д.Д. Колобовым (Колобов, 1966, 1988 и др.). Позднее, в 1996 г. в рамках тематической работы, проведенной в ПМГРЭ, Е.К. Серовым была создана первая геоморфологическая карта подледно-подводного рельефа всего района в м-бе 1 : 1 000 000, на которой по сути дела были отражены не конкретные картировочные

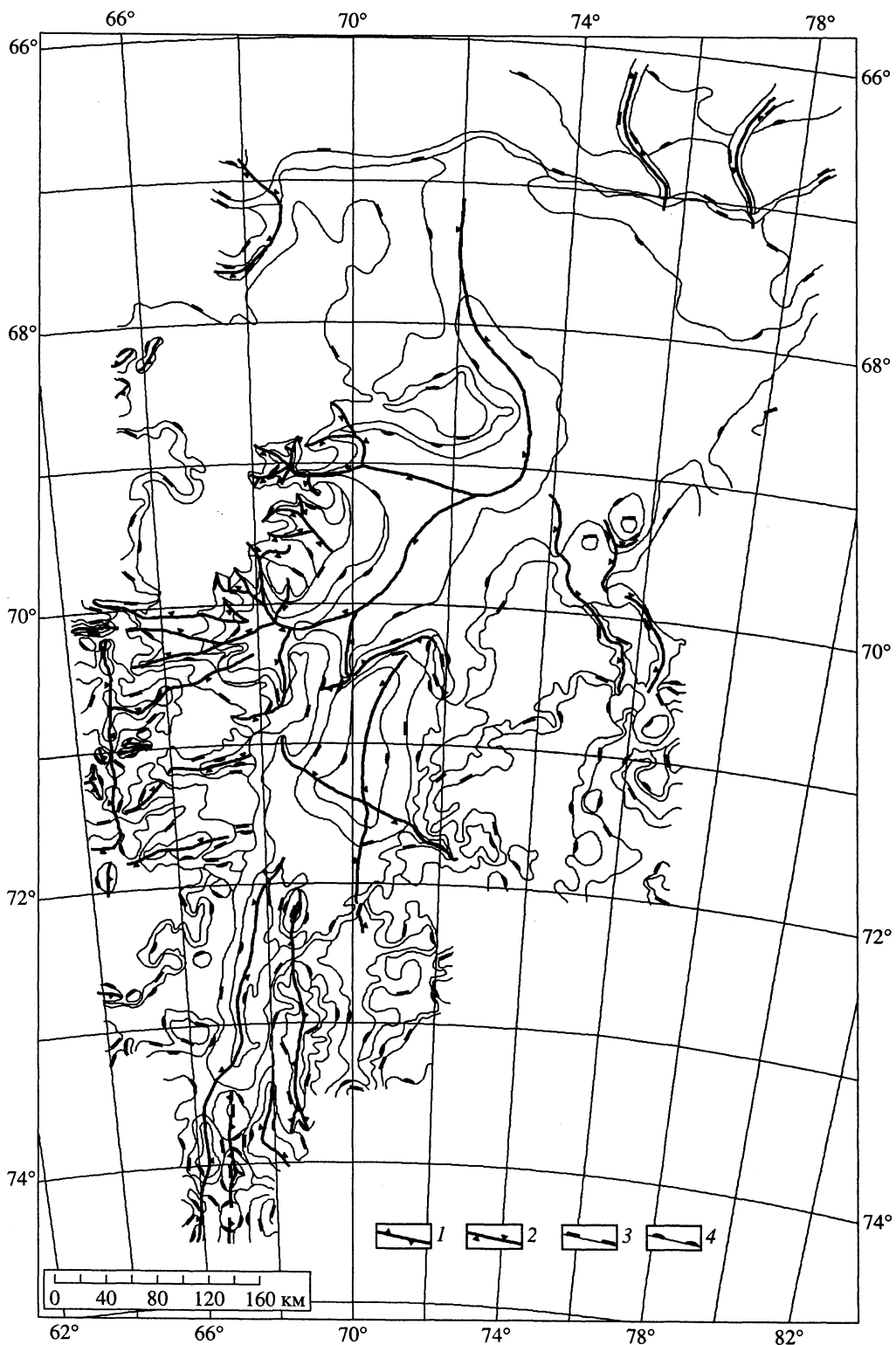


Рис. 3. Карта структурных линий (упрощено)

1 – гребневые ( $L_1$ ), 2 – килевые ( $L_2$ ), 3 – выпуклых перегибов ( $L_5$ ), 4 – вогнутых перегибов ( $L_6$ )

единицы, а ареалы распространения рельефа той или иной генетической категории (не опубликована).

В отличие от последней морфогенетическая карта, содержание которой разделено по техническим соображениям и представлено на рис. 3, 4, не содержит отмеченных недостатков традиционного морфогенетического картографирования, так как основана на системно-морфологическом подходе, предусматривающем строгую систематику и выделение многообразных линейных и площадных элементов подледно-подводной поверхности. Ее построению предшествовало трассирование структурных линий: гребневых ( $L_1$ ), килевых ( $L_2$ ), выпуклых ( $L_5$ ) и вогнутых ( $L_6$ ) перегибов, совокупность которых вынесена на специальную карту (рис. 3) и в целом отражает структуру подледно-подводной поверхности [17].

Морфологически однородные (не полностью определенные) элементарные поверхности заключены между верхними ( $L_n$ ) и нижними ( $L_m$ ) линейными элементами и имеют общий индекс  $P_{n-m}$ . Ограничениями привершинных верхних ( $P_{0-m}$ ) и нижних ( $P_{n-0}$ ) поверхностей могут быть также характерные точки, имеющие индекс 0. Широко распространены плосковершинные верхние ( $P_{4+5}$ ), и нижние ( $P_{6-}$ ) поверхности. Наряду с ними выделяются вдольгребневые ( $P_{1-5}$ ,  $P_{1-6}$ ), вдолькилевые ( $P_{5-2}$ ,  $P_{6-2}$ ) и склоновые (уступы –  $P_{5-6}$ , площадки  $P_{6-5}$ , фасы –  $P_{5-5}$  и подножия –  $P_{6-6}$ ) площадные элементы (рис. 4). Для обозначения всех их предлагается легенда, вертикальная ось которой посвящена характеристике происхождения элементарных поверхностей, установленного по морфологическим и геолого-геофизическим данным. В легенде предусмотрено все конечное множество не полностью определенных площадных элементов, три разновидности которых ( $P_{0-5}$ ,  $P_{6-2}$ ,  $P_{5-0}$ ) в рельфе района не обнаружены, что рассматривается в качестве одной из немаловажных его геоморфологических особенностей. Генетические категории элементарных поверхностей обозначены в легенде римскими цифрами, расшифровка которых (описание происхождения подледно-подводного рельефа) предлагается в виде следующего перечня соответственно пронумерованных определений.

I. Поверхности неволновой дифференцированной (с уменьшением скорости осадконакопления в направлении:  $P_{6-} \rightarrow P_{6-} \rightarrow P_{5-6} \rightarrow P_{5-5}$ ) аккумуляции терригенного (древнего аллювиального (?), водно-ледникового и ледово-морского) материала, перерабатываемые гравитационным смещением масс ( $P_{5-5}$ ,  $P_{5-6}$ ) и эрозией супензионных потоков ( $P_{5-2}$ ) в условиях максимальных градиентов и амплитуд неотектонических и литоизостатических опусканий на континентальном склоне и ложе океана.

II. Поверхности интенсивной ледниковой и водно-ледниковой аккумуляции (с уменьшением скорости осадконакопления в направлении:  $P_{1-6}$ ,  $P_{1-5} \rightarrow P_{6-5} \rightarrow P_{6-} \rightarrow P_{6-2} \rightarrow P_{5-6}$ ) в условиях резко дифференцированных (только на бортах впадины Ламберта –  $P_{5-6}$ ), слабо дифференцированных высокоамплитудных неотектонических и гляциоизостатических погружений днища впадины Ламберта и ее продолжения на шельфе ( $P_{1-6}$ ,  $P_{1-5}$ ,  $P_{6-5}$ ,  $P_{6-}$ ,  $P_{5-6}$ ), не компенсированных аккумулятивными процессами.

III. Денудационные (экзарационные, нивальные) поверхности эквипленов, трогов и цирков, сформированных в эпоху (эпохи?) долинного оледенения аляскинского типа, с непогребенными полностью под ледниковой отложениями бортами ( $P_{5-6}$ ,  $P_{5-5}$ ) и полностью перекрытыми ледниковой аккумуляцией днищами ( $P_{6-}$ ,  $P_{6-2}$ ,  $P_{6-0}$ ) и подножиями ( $P_{6-6}$ ) в условиях относительных неотектонических и гляциоизостатических погружений.

IV. Древние аккумулятивные поверхности выравнивания ( $P_{6-5}$ ) с их уступами ( $P_{5-6}$ ) и фасами ( $P_{5-5}$ ), сформированные в условиях эрозии водно-ледниковыми потоками, общего устойчивого неотектонического и гляциоизостатического погружения на современном шельфе и Берегу Ларса Кристенсена.

V. Сформированная в условиях общих устойчивых неотектонических поднятий и гляциоизостатических опусканий лестница древних разновозрастных денудационных

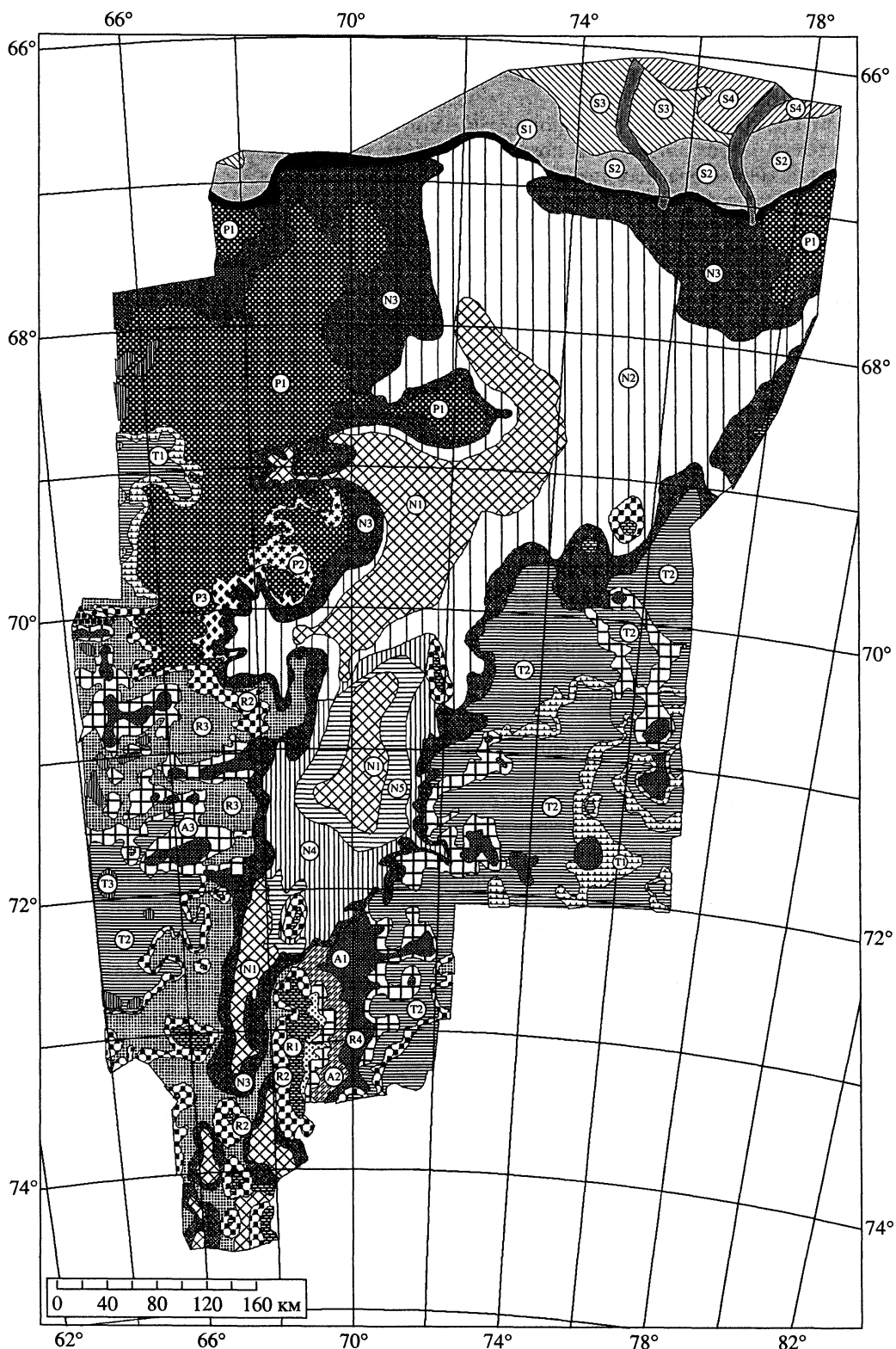


Рис. 4. Карта элементарных поверхностей и их совокупностей (упрощено)

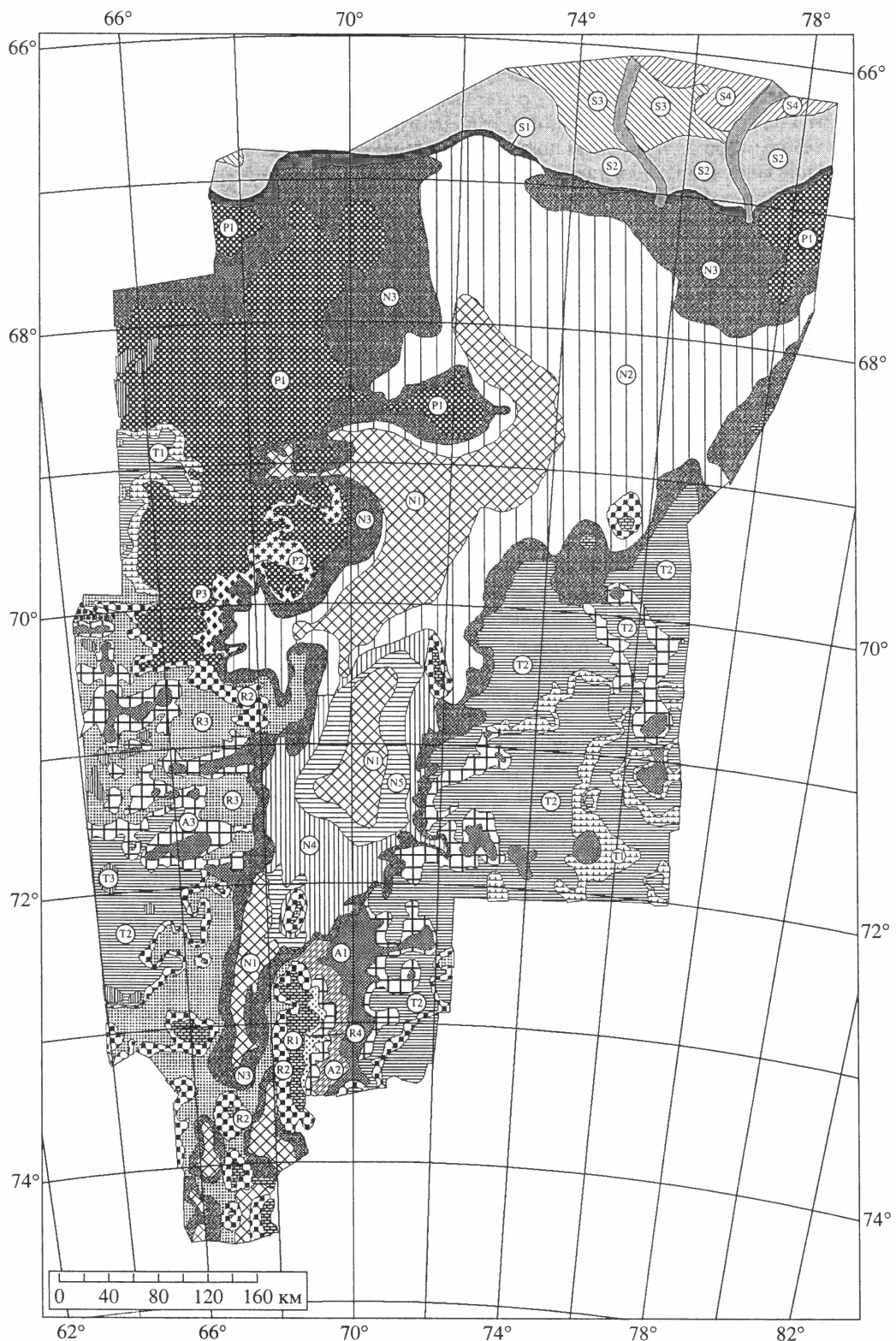


Рис. 4. Карта элементарных поверхностей и их совокупностей (упрощено)

поверхностей нивального выравнивания ( $P_{+5}$ ,  $P_{6-5}$ ), осложненных карлингами ( $P_{0-6}$ ) и останцами ( $P_{1-6}$ ), разделенных уступами ( $P_{5-6}$ ).

VI. Денудационные поверхности, сформированные современными нивальными процессами в условиях дифференцированных высокоамплитудных неотектонических поднятий.

Отрывочные данные о коренных и четвертичных образованиях свидетельствуют о сложной истории формирования рельефа как в доледниково геологическое время, так и в период образования и осцилляций покровного оледенения (Воронов, Гросвальд, Мягков, 1980 и др.). При дальнейшем развитии представлений о возрасте и этапах формирования подледно-подводного рельефа и ледникового покрова следует учесть морфологические данные, полученные в результате сведения и анализа радиолокационных и гидростатиграфических материалов. Прежде всего к ним относится существование конуса выноса, вершина которого сопряжена с впадиной Ламберта и линией тальвега на ее днище. Последняя не подходит к самой вершине в связи, вероятно, с полным погребением подводной долины в ее низовьях на шельфе. Вместе с тем ее эрозионно-аккумулятивное происхождение сомнений не вызывает, так как только "речной транспорт" может обеспечить доставку огромного объема терригенных отложений на узколокализованный участок бровки шельфа с последующим их перемещением вниз супензионными потоками и накоплением на континентальном подножии. Вопрос о том, когда функционировала эта речная артерия – в максимальную плиоценовую регрессию или в более ранние периоды, остается пока открытым. Но сопряженность соответствующих линий и форм поверхности очень похожа на то, что отмечается на Баренцевоморском шельфе, где в разной степени погребенные и разрушенные абразией отрезки подводных долин продолжают долины крупнейших современных рек севера Русской равнины, составляют в своей совокупности сложно построенную речную палеосеть, которая в своих низовьях выходит на Медвежинский желоб и конус выноса "Персея" на континентальном склоне.

Рельеф западного и восточного обрамления впадины Ламберта развивался по совершенно разным сценариям. На формирование гор Принс-Чарльз наибольшее воздействие оказали новейшие поднятия, сопровождаемые интенсивным развитием дизъюнктивных дислокаций, которые, вероятно, не без участия как глетчерного, так и конжеляционного льда претерпели максимальное раскрытие в верхней части земной коры с образованием того, что в Арктике называется фиордами. В условиях относительной тектонической стабилизации, которая имела место на восточном обрамлении впадины, ледниковый рельеф представлен редкими и слабо выраженным (вероятно, в значительной мере погребенными под моренным материалом) обширными

Генезис	М о р ф о л о г и я													
	Верхние				Склоновые					Нижние				
	Привершин- ная	Вдольгреб- невая	Плоско- верши.	Площ. Уступы	Фасы	Подно- жия	Плоско- верш.	Вдольки- левые	Привершин- ная					
	$P_{0-5}$	$P_{0-6}$	$P_{1-6}$	$P_{1-5}$	$P_{+5}$	$P_{6-5}$	$P_{5-6}$	$P_{5-5}$	$P_{6-6}$	$P_{6-}$	$P_{6-2}$	$P_{5-2}$	$P_{6-0}$	$P_{5-0}$
I						(S2)	S1	(S3)	(S4)					
II			(N4)	(N4)		(N4)	(N3)		(N2)	(N1)	(N1)			
III						(A3)	(A3)	(A2)	(A1)	(A1)		(A1)		
IV					(P1)	(P2)	(P3)							
V		(T3)	(T3)		(T2)	(T2)	(T1)							
VI				(R1)	(R1)	(R3)	(R2)	(R3)						

поверхностей нивального выравнивания ( $P_{+5}$ ,  $P_{6-5}$ ), осложненных карлингами ( $P_{0-6}$ ) и останцами ( $P_{1-6}$ ), разделенных уступами ( $P_{5-6}$ ).

VI. Денудационные поверхности, сформированные современными нивальными процессами в условиях дифференцированных высокоамплитудных неотектонических поднятий.

Отрывочные данные о коренных и четвертичных образованиях свидетельствуют о сложной истории формирования рельефа как в доледниково геологическое время, так и в период образования и осцилляций покровного оледенения (Воронов, Гросвальд, Мягков, 1980 и др.). При дальнейшем развитии представлений о возрасте и этапах формирования подледно-подводного рельефа и ледникового покрова следует учесть морфологические данные, полученные в результате сведения и анализа радиолокационных и гидростатиграфических материалов. Прежде всего к ним относится существование конуса выноса, вершина которого сопряжена с впадиной Ламберта и линией тальвега на ее днище. Последняя не подходит к самой вершине в связи, вероятно, с полным погребением подводной долины в ее низовьях на шельфе. Вместе с тем ее эрозионно-аккумулятивное происхождение сомнений не вызывает, так как только "речной транспорт" может обеспечить доставку огромного объема терригенных отложений на узколокализованный участок бровки шельфа с последующим их перемещением вниз супензионными потоками и накоплением на континентальном подножии. Вопрос о том, когда функционировала эта речная артерия – в максимальную плиоценовую регрессию или в более ранние периоды, остается пока открытым. Но сопряженность соответствующих линий и форм поверхность очень похожа на то, что отмечается на Баренцевоморском шельфе, где в разной степени погребенные и разрушенные абразией отрезки подводных долин продолжают долины крупнейших современных рек севера Русской равнины, составляют в своей совокупности сложно построенную речную палеосеть, которая в своих низовьях выходит на Медвежинский желоб и конус выноса "Персея" на континентальном склоне.

Рельеф западного и восточного обрамления впадины Ламберта развивался по совершенно разным сценариям. На формирование гор Принс-Чарльз наибольшее воздействие оказали новейшие поднятия, сопровождаемые интенсивным развитием дизъюнктивных дислокаций, которые, вероятно, не без участия как глетчерного, так и конжеляционного льда претерпели максимальное раскрытие в верхней части земной коры с образованием того, что в Арктике называется фиордами. В условиях относительной тектонической стабилизации, которая имела место на восточном обрамлении впадины, ледниковый рельеф представлен редкими и слабо выраженным (вероятно, в значительной мере погребенными под моренным материалом) обширными

Генезис	М о р ф о л о г и я															
	Верхние				Склоновые				Нижние							
	Привершин- ная		Вдольгреб- невая		Плоско- верш.		Площ.	Уступы	Фасы		Подно- жия		Плоско- верш.	Вдольки- левые		Привершин- ная
	$P_{0-5}$	$P_{0-6}$	$P_{1-6}$	$P_{1-5}$	$P_{+5}$	$P_{6-5}$	$P_{5-6}$	$P_{5-5}$	$P_{6-6}$	$P_{6-}$	$P_{6-}$	$P_{6-}$	$P_{6-2}$	$P_{5-2}$	$P_{6-0}$	$P_{5-0}$
I																
II																
III																
IV																
V																
VI																

цирками и трогами с характерными для них формами в плане и относительно крутыми, невысокими бортами и плоскими днищами.

Как на западе, так и на востоке от впадины Ламберта отсутствуют контрастные экзарационные формы, которые мы привыкли наблюдать в горных районах со всеми следами или атрибутами отступивших плейстоценовых ледников. Это вполне объяснимо, если учесть, что рельеф последних формировался в условиях дегляциации, которая всегда сопровождается увеличением его контрастности – образованием каровых лестниц, врезанных друг в друга разновозрастных трогов (часто осложненных последующими глубокими эрозионными врезами), а современный подледный рельеф Антарктиды развивался в противоположном направлении – в условиях роста ледников от каровых до покровных, когда последующая экзарационная и аккумулятивная деятельность более крупных глетчеров уничтожала предшествующие малые формы ледникового и речного происхождения.

В морфоструктурном отношении в исследуемом районе доминирует обширная рифтовая впадина Ламберта, резко ограниченная дизъюнктивно предопределенными крутыми бортами-бросами. Рифт существенно расширяется от "впадающих в него" рифтовых долин на юге к шельфу, далее – к континентальному склону. Это отличает его от почти неизменных по ширине окраинных желобов на Баренцево-Карском шельфе в Арктике. Западное обрамление представлено областью постплатформенного орогенеза – глыбовыми горами Принс-Чарльз. Для них характерна существенная расчлененность рельефа (в морфоструктурном и морфоскульптурном отношениях), созданного резодифференцированными неотектоническими и гляциоизостатическими движениями земной коры. Восточное обрамление включает платформенные равнины с осложняющими ее морфоструктурами – тектонически обусловленными увалами (Земля Принцессы Елизаветы), отдельными возвышенностями и низменностями (Берег Ингрид Кристенсен). Подводный рельеф шельфа моря Содружества в основном предопределен дифференцированной аккумуляцией и не полностью погребенными ею древними подводными долинами.

#### СПИСОК ЛИТЕРАТУРЫ

1. *Fowler K.F.* Ice thickness measurements in Mac. Robertson Land, 1957–1959. Melbourne: Bureau of Mineral Resources, Australia, 1971. 55 р.
2. *Саватюгин Л.М., Преображенская М.А.* Российские исследования в Антарктике. СПб.: Гидрометеоиздат, 1999. Т. 1. 360 с.
3. *Соловьев Д.С., Каменев Е.Н., Равич Г.М.* Геологические исследования в 1965/66 гг. // Бюл. САЭ. 1967. Вып. 62. С. 10–18.
4. *Соловьев Д.С.* Исследования на Землях Мак-Робертсона и Принцессы Елизаветы // Бюл. САЭ. 1976. Вып. 92. С. 14–17.
5. *Боярский В.И., Шалыгин А.М.* Радиолокационная съемка подледного рельефа Девятнадцатой Советской антарктической экспедицией // Бюл. САЭ. 1976. Вып. 92. С. 18–23.
6. *Куринин Р.Г., Грикуров Г.Э.* Строение рифтовой зоны ледника Ламберта // Тр. САЭ. 1980. Т. 70. С. 76–86.
7. *Куринин Р.Г., Алешикова Н.Д.* Коренной рельеф Земли Эндерби, Земли Мак-Робертсона и Земли Принцессы Елизаветы в Восточной Антарктиде // Антарктика. 1987. Вып. 26. С. 62–65.
8. *Fedorov L.V., Grikurov G.E., Kurinin R.G. et al.* Crustal structure of the Lambert glacier area from geophysical data // Antarctic geoscience. ed. Ruddock C., Madison, Wisconsin: University Wisconsin Press, 1982. P. 931–936.
9. *Popov S.V.* Overview of Russian Radio Echo Sounding and ground reflection seismic investigations in Antarctica from 1970 to the present day // Antarctica and global change: interactions and impacts. Hobart, Tasmania, Australia. 13–18 July, 1997. P. 1056.
10. *Leitchenkov G., Shelestov F., Gandjushin V. et al.* Outline of structure and evolution of the cooperation sea sedimentary basin // International workshop on Antarctic Offshore Seismic Stratigraphy (ANTOSTRAT): Overview and Extended Abstracts: U.S. Geological Survey Open-File Report 90–309. ed. Cooper A.K., Webb P.N., 1990. P. 202–211.

11. Morgan V.J. and Budd W.F. Radio-echo sounding of the Lambert Glacier Basin // J. Glac. 1975. V. 15. № 73. P. 103–111.
12. Higham M., Reynolds M., Brocklesby A. et al. Ice radar digital recording, data processing and results from the Lambert Glacier Basin traverses // Terra Antarctica. 1995. V. 2. № 1. P. 23–32.
13. Nakao S. Japanese expedition data in the Prudz Bay and its vicinity // International workshop on Antarctic Offshore Seismic Stratigraphy (ANTOSTRAT): Overview and Extended Abstracts: U.S. Geological Survey Open-File Report 90-309. ed. Cooper A.K., Webb P.N., 1990. P. 228–232.
14. Stagg H.M.J. Australia's Offshore Antarctic Program: current data availability and future intentions // International workshop on Antarctic Offshore Seismic Stratigraphy (ANTOSTRAT): Overview and Extended Abstracts: U.S. Geological Survey Open-File Report 90-309. ed. Cooper A.K., Webb P.N., 1990. P. 251–254.
15. Попов С.В. Методические аспекты обработки материалов радиолокационного профилирования // Международная конференция молодых ученых и специалистов-геофизиков "Геофизика-99". Петродворец, 9–12 ноября 1999 г. 1999. С. 108.
16. Попов С.В. Методика обработки аналоговых материалов радиолокационного профилирования // РГЖ. 2001. Т. 23–24. С. 57–61.
17. Методические указания по составлению геоморфологических карт при средне- и крупномасштабной геологической съемке / Ганешин Г.С., Соловьев В.С. Л.: Недра, 1980. 60 с.
18. Спиридонов А.И. Геоморфологическое картографирование. М.: Недра, 1985. 183 с.
19. Ласточкин А.Н. Рельеф земной поверхности. Л.: Недра, 1991. 340 с.
20. Методика геоморфологического картографирования шельфа и континентального склона Российской Федерации (применительно к задачам Госгеолкарты-1000) / Зинченко А.Г., Ласточкин А.Н., Лопатин Б.Г. М.: ЗАО "Геоинформмарк", 2001. 38 с.
21. Геоморфологические исследования океанического дна / Ласточкин А.Н. Л.: Изд-во ПГО "Севморгеология", 1987. 105 с.
22. Петров В.Н. Геоморфологические наблюдения в горах Принс-Чарльз // Бюл. САЭ. 1967. Вып. 64. С. 5–9.

Факультет географии и геоэкологии СПбГУ,  
ПМГРЭ, Ломоносов (СПб)

Поступила в редакцию  
21.06.2001

**TECHNIQUE AND RESULTS OF GEOMORPHOLOGIC MAPPING  
OF SUBMARINE-SUBGLACIAL RELIEF  
OF LAMBERT BASIN AND ITS FRAME (EASTERN ANTARCTICA)**

A.N. LASTOCKHIN, S.V. POPOV

**S u m m a r y**

Complex geophysical researches including radiolocation profiling, terrestrial and marine seismic survey fulfilled during the 17–19, 32, 33, 35, 36, 39 and 40<sup>th</sup> Soviet (Russian) Antarctic expeditions made it possible to investigate the submarine-subglacial sea bottom relief in the vicinity of Prince Charles Mountains. The schematic geomorphologic map was compiled in the scale of 1 : 1000000, on the base of the morphogenetic principle. The map includes 6 genetic and 11 morphologic classes of simple surfaces, divided by crest and keel lines, concave and convex kinks. Within the submarine middle-mountains there are deep incised canyons, on the high plain – rare troughs and circles possibly buried by moraines. The Lambert depression has flat bottom and dissected flanges of various slopes. On the whole the submarine-subglacial relief greatly differs from the relief of Pleistocene glaciations.